

ОПРЕДЕЛЕНИЕ ИМПЕДАНСНЫМ МЕТОДОМ ЧАСТОТНЫХ ХАРАКТЕРИСТИК ПРЯМОЛИНЕЙНОГО ТРУБОПРОВОДА ПРИ СОВМЕСТНЫХ ПРОДОЛЬНЫМ КОЛЕБАНИЯМ КОНСТРУКЦИИ ТРУБОПРОВОДА И ЖИДКОСТИ

Представлена математическая модель трубопровода с распределенными параметрами, учитывающая взаимодействие в продольном направлении жидкости и конструкции трубопровода. Определены элементы передаточной матрицы трубопровода. Разработана математическая модель сильфона в продольном направлении и определена его передаточная матрица. Получены выражения для определения импедансных соотношений гидроупругой системы. Для тестового трубопровода линии питания жидкостного ракетного двигателя показано, что влияние взаимодействия жидкости и конструкции трубопровода в продольном направлении на собственные частоты колебаний связанной гидроупругой системы эффективно при определенной близости собственных частот колебаний парциальных систем жидкости и конструкции трубопровода.

Представлено математичну модель трубопроводу з розподіленими параметрами, що враховує взаємодію в поздовжньому напрямку рідини й конструкції трубопроводу. Визначено елементи передаточної матриці трубопроводу. Розроблено математичну модель сильфона в поздовжньому напрямку й визначена його передаточна матриця. Отримано вирази для визначення імпедансних співвідношень гідропружної системи. Для тестового трубопроводу лінії живлення рідинного ракетного двигуна показано, що вплив взаємодії рідини й конструкції трубопроводу в поздовжньому напрямку на власні частоти коливань зв'язаної гідропружної системи є ефективним при певній близькості власних частот коливань парціальних систем рідини й конструкції трубопроводу.

A mathematical model of the pipe with distributed parameters considering a longitudinal interaction between the fluid and the pipe structure is presented. The elements of the pipe transmission matrix are defined. A mathematical model of the bellows in a longitudinal direction is developed and its transmission matrix is determined. Expressions for defining impedance relations of a hydroelastic system are derived. It is shown for the test pipe of the LRE feedline that the effects of the interaction between the fluid and the pipe structure in a longitudinal direction on natural oscillation frequencies of a coupled hydroelastic system are effective under a certain relationship of natural oscillation frequencies of partial systems of the fluid and the pipe structure.

Введение. Амплитудно-фазовые частотные характеристики (АФЧХ) линий питания жидкостных ракетных двигателей (ЖРД) используются при анализе динамики ЖРД, продольной устойчивости ракет на жидком топливе [1]. При этом часто предполагается, что конструкция трубопроводов является абсолютно жесткой. Однако на практике трубопроводы зачастую испытывают вибрации, а опоры трубопроводов являются подвижными. При этом происходит взаимное влияние пульсаций жидкости и вибраций конструкции, которое может привести к изменению АФЧХ трубопроводов. Задача определения взаимодействия пульсаций рабочей среды и вибраций конструкций является актуальной в авиационной, ракетной, судостроительной технике, в гидравлических системах станков, наземных транспортных и энергетических установок, в трубопроводных системах химической, нефтяной и газовой промышленности, в отопительных и вентиляционных системах [2]. Известны экспериментальные и теоретические работы [3 – 7], где показано, что это взаимное влияние может быть существенным и приводит к возникновению неустойчивости течения, к изменению частотных характеристик связанной системы, к усилению интенсивности волн давления в жидкости при переходных процессах и изменению собственных частот колебаний трубопроводной системы. Для теоретического определения АФЧХ гидросистем с распределенными параметрами обычно используются численные методы характеристик либо метод конечных элементов, получивший распространение в последнее время в связи с развитием методов численного моделирования и использующий различные программные комплексы (например ANSYS) [8].

Целью настоящей работы является применение импедансного метода, основанного на аналитическом решении дифференциальных уравнений, для определения АФЧХ при совместных связанных продольных колебаниях конструкции прямолинейного трубопровода и текущей по нему жидкости.

1. Передаточная матрица трубопровода и сильфона. Математическую модель прямолинейного трубопровода круглого сечения с распределенными параметрами, учитывающую взаимодействие в продольном направлении жидкости и конструкции трубопровода, получим из уравнений в частных производных, представленных в работе [7] и дополненных здесь учетом потерь давления жидкости и демпфированием конструкции. В число этих уравнений входит уравнение движения жидкости, уравнение неразрывности жидкости, уравнение движения стенки трубопровода в осевом направлении и уравнение состояния стенки трубопровода (в принятой системе координат ось z направлена по течению жидкости)

$$\begin{cases} \frac{\partial p}{\partial z} + \frac{1}{gA_{жс}} \frac{\partial G}{\partial t} + \frac{2\Delta\bar{p}}{lG} (G - \gamma_{жс} A_{жс} \dot{u}_z) = 0, \\ \frac{\partial p}{\partial t} + \frac{c^2 \gamma_{жс}}{g} \left(\frac{1}{\gamma_{жс} A_{жс}} \frac{\partial G}{\partial z} - 2\nu \frac{\partial \dot{u}_z}{\partial z} \right) = 0, \\ \frac{\partial F_z}{\partial z} - \frac{\gamma_m A_m}{g} \frac{\partial \dot{u}_z}{\partial t} = 0, \\ \frac{\partial F_z}{\partial t} - A_m E_m \left(1 + \mu_z \frac{\partial}{\partial t} \right) \frac{\partial \dot{u}_z}{\partial z} - \nu \frac{DA_m}{2\delta_T} \frac{\partial p}{\partial t} = 0, \end{cases} \quad (1)$$

где p , G – давление и весовой расход жидкости; F_z , \dot{u}_z – продольная сила и скорость перемещения трубопровода; t – время; $\gamma_{жс}$, γ_m – удельный вес жидкости и материала трубопровода; $A_{жс}$, A_m – площади поперечных сечений трубопровода, занятых жидкостью и стенкой трубопровода; g – ускорение свободного падения; $\Delta\bar{p}$ – потери давления на участке трубопровода длиной l ; c – скорость звука в жидкости; ν – коэффициент Пуассона; E_m – модуль упругости материала трубопровода; μ_z – коэффициент демпфирования конструкции трубопровода; D , δ_T – внутренний диаметр и толщина стенки трубопровода; черта над параметром означает его постоянство.

В этой модели влияние колебаний жидкости на колебания конструкции трубопровода осуществляется за счет изменения внутреннего давления жидкости, которое приводит к появлению в стенке трубопровода окружных напряжений и, в соответствии с эффектом Пуассона, осевых напряжений. Влияние колебаний конструкции на колебания жидкости осуществляется за счет осевого сокращения или удлинения конструкции трубопровода.

Получим передаточную матрицу трубопровода с распределенными параметрами в виде

$$\begin{cases} p(z, s) = b_{1,1} p(0, s) + b_{1,2} G(0, s) + b_{1,3} F_Z(0, s) + b_{1,4} \dot{u}_Z(0, s), \\ G(z, s) = b_{2,1} p(0, s) + b_{2,2} G(0, s) + b_{2,3} F_Z(0, s) + b_{2,4} \dot{u}_Z(0, s), \\ F_Z(z, s) = b_{3,1} p(0, s) + b_{3,2} G(0, s) + b_{3,3} F_Z(0, s) + b_{3,4} \dot{u}_Z(0, s), \\ \dot{u}_Z(z, s) = b_{4,1} p(0, s) + b_{4,2} G(0, s) + b_{4,3} F_Z(0, s) + b_{4,4} \dot{u}_Z(0, s), \end{cases} \quad (2)$$

где $p(0, s)$, $G(0, s)$, $F_Z(0, s)$, $\dot{u}_Z(0, s)$ – соответствующие параметры на входе в рассматриваемый элемент трубопровода; $p(z, s)$, $G(z, s)$, $F_Z(z, s)$, $\dot{u}_Z(z, s)$ – соответствующие параметры на расстоянии z от входа в рассматриваемый элемент трубопровода; $b_{i,j}$, $i, j = 1, 2, 3, 4$ – элементы передаточной матрицы трубопровода.

Для определения элементов передаточной матрицы трубопровода будем поступать аналогично тому, как это принято при использовании импедансного метода в теории гидравлических систем [9]. Применяя преобразование Лапласа по переменной t к системе (1) при нулевых начальных условиях, получим

$$\begin{cases} \frac{dp}{dz} = -Z_{\mathcal{Ж}} \cdot G(s) + \delta_{\mathcal{Ж}} \cdot \dot{u}_Z(s), \\ \frac{dG}{dz} = -Y_{\mathcal{Ж}} \cdot p(s) - D_{\mathcal{Ж}} \cdot F_Z(s), \\ \frac{dF_Z}{dz} = Z_M \cdot \dot{u}_Z(s), \\ \frac{d\dot{u}_Z}{dz} = Y_M \cdot F_Z(s) + D_M \cdot p(s), \end{cases} \quad (3)$$

где s – переменная Лапласа;

$$\begin{aligned} Z_{\mathcal{Ж}} &= \frac{s}{g A_{\mathcal{Ж}}} + \frac{2 \Delta \bar{p}}{l(\bar{G} - \bar{u}_Z A_{\mathcal{Ж}} \gamma_{\mathcal{Ж}})}; & D_{\mathcal{Ж}} &= \frac{-2 \nu g s}{c^2 \gamma_{\mathcal{Ж}} A_M E_M (1 + \mu_Z s)}; \\ Y_{\mathcal{Ж}} &= \frac{g A_{\mathcal{Ж}} s}{c^2} \left(1 + \frac{\nu^2 D}{\gamma_{\mathcal{Ж}} \delta_T E_M (1 + \mu_Z s) A_{\mathcal{Ж}}} \right); & \delta_{\mathcal{Ж}} &= \frac{2 \Delta \bar{p} A_{\mathcal{Ж}} \gamma_{\mathcal{Ж}}}{l(\bar{G} - \bar{u}_Z A_{\mathcal{Ж}} \gamma_{\mathcal{Ж}})}; \\ Z_M &= \frac{\gamma_M A_M s}{g}; & Y_M &= \frac{s}{A_M E_M (1 + \mu_Z s)}; & D_M &= \frac{-\nu D s}{2 \delta_T E_M (1 + \mu_Z s)}. \end{aligned}$$

Система уравнений (3) является системой линейных дифференциальных уравнений с постоянными (независимыми от z) коэффициентами. При неучете взаимодействия между пульсациями жидкости и вибрациями конструкции трубопровода коэффициенты связи $D_{\mathcal{Ж}} = \delta_{\mathcal{Ж}} = D_M = 0$ и система (3) распадается на две независимые подсистемы уравнений, описывающие несвязанные колебания жидкости и конструкции трубопровода.

Сведем систему уравнений (3) к дифференциальному уравнению четвертого порядка

$$\frac{d^4 p}{dz^4} + B_1 \frac{d^2 p}{dz^2} + B_2 p = 0, \quad (4)$$

где $B_1 = -(Z_{\mathcal{Ж}} Y_{\mathcal{Ж}} + Z_M Y_M) - D_M \delta_{\mathcal{Ж}}$; $B_2 = Z_{\mathcal{Ж}} Z_M (Y_{\mathcal{Ж}} Y_M - D_{\mathcal{Ж}} D_M)$.

В результате решения (4) получим корни характеристического уравнения γ_1 и γ_2

$$\gamma_1 = \pm \sqrt{\frac{-B_1 + \sqrt{B_1^2 - 4 B_2}}{2}} \quad \text{и} \quad \gamma_2 = \pm \sqrt{\frac{-B_1 - \sqrt{B_1^2 - 4 B_2}}{2}}.$$

Тогда решение системы (3) можно представить в виде

$$F_Z(z, s) = c_1 ch(\gamma_1 z) + c_2 sh(\gamma_1 z) + c_3 ch(\gamma_2 z) + c_4 sh(\gamma_2 z),$$

$$\dot{u}_Z(z, s) = \frac{\gamma_1}{Z_M} [c_1 sh(\gamma_1 z) + c_2 ch(\gamma_1 z)] + \frac{\gamma_2}{Z_M} [c_3 sh(\gamma_2 z) + c_4 ch(\gamma_2 z)],$$

$$p(z, s) = \frac{\gamma_1^2 - Y_M}{Z_M D_M} [c_1 ch(\gamma_1 z) + c_2 sh(\gamma_1 z)] + \frac{\gamma_2^2 - Y_M}{Z_M D_M} [c_3 ch(\gamma_2 z) + c_4 sh(\gamma_2 z)],$$

$$G(z, s) = \frac{\gamma_1}{Z_M Z_{\mathcal{K}}} \left(\delta_{\mathcal{K}} - \frac{\gamma_1^2 - Y_M}{D_M} \right) [c_1 sh(\gamma_1 z) + c_2 ch(\gamma_1 z)] +$$

$$+ \frac{\gamma_2}{Z_M Z_{\mathcal{K}}} \left(\delta_{\mathcal{K}} - \frac{\gamma_2^2 - Y_M}{D_M} \right) [c_3 sh(\gamma_2 z) + c_4 ch(\gamma_2 z)],$$

где c_1, c_2, c_3 и c_4 – комплексные постоянные интегрирования.

Постоянные c_1, c_2, c_3 и c_4 определяются из условия, что заданы граничные условия на входе в рассматриваемый элемент трубопровода $p(0, s)$, $G(0, s)$, $F_Z(0, s)$, $\dot{u}_Z(0, s)$. Тогда элементы передаточной матрицы трубопровода (2) будут определяться выражениями

$$b_{1,1} = \frac{1}{\gamma_1^2 - \gamma_2^2} \left[-(\gamma_2^2 - Z_{\mathcal{K}} Y_{\mathcal{K}} - \delta_{\mathcal{K}} D_M) ch(\gamma_1 z) + \right.$$

$$\left. + (\gamma_1^2 - Z_{\mathcal{K}} Y_{\mathcal{K}} - \delta_{\mathcal{K}} D_M) ch(\gamma_2 z) \right],$$

$$b_{1,2} = \frac{Z_{\mathcal{K}}}{\gamma_1^2 - \gamma_2^2} \left[(\gamma_2^2 - Z_{\mathcal{K}} Y_{\mathcal{K}} - \delta_{\mathcal{K}} D_M) \frac{sh(\gamma_1 z)}{\gamma_1} - \right.$$

$$\left. - (\gamma_1^2 - Z_{\mathcal{K}} Y_{\mathcal{K}} - \delta_{\mathcal{K}} D_M) \frac{sh(\gamma_2 z)}{\gamma_2} \right],$$

$$b_{1,3} = \frac{1}{\gamma_1^2 - \gamma_2^2} (Z_{\mathcal{K}} D_M + \delta_{\mathcal{K}} Y_M) [ch(\gamma_1 z) - ch(\gamma_2 z)],$$

$$b_{1,4} = \frac{1}{\gamma_1^2 - \gamma_2^2} \left[(Z_{\mathcal{K}} Z_M D_{\mathcal{K}} + \delta_{\mathcal{K}} \gamma_1^2) \frac{sh(\gamma_1 z)}{\gamma_1} - \right.$$

$$\left. - (Z_{\mathcal{K}} Z_M D_{\mathcal{K}} + \delta_{\mathcal{K}} \gamma_2^2) \frac{sh(\gamma_2 z)}{\gamma_2} \right],$$

$$b_{2,1} = \frac{1}{\gamma_1^2 - \gamma_2^2} \frac{1}{Z_{\mathcal{K}}} \left[\gamma_1 (\gamma_2^2 - Z_{\mathcal{K}} Y_{\mathcal{K}}) sh(\gamma_1 z) - \gamma_2 (\gamma_1^2 - Z_{\mathcal{K}} Y_{\mathcal{K}}) sh(\gamma_2 z) \right],$$

$$b_{2,2} = \frac{1}{\gamma_1^2 - \gamma_2^2} \left[(\gamma_2^2 - Z_{\mathcal{K}} Y_{\mathcal{K}}) ch(\gamma_1 z) + (\gamma_1^2 - Z_{\mathcal{K}} Y_{\mathcal{K}}) ch(\gamma_2 z) \right],$$

$$b_{2,3} = \frac{1}{\gamma_1^2 - \gamma_2^2} \frac{1}{Z_{\mathcal{K}} Z_M} \left[-\gamma_1 (Z_{\mathcal{K}} Z_M D_{\mathcal{K}} + \delta_{\mathcal{K}} \gamma_2^2) sh(\gamma_1 z) + \right. \\ \left. + \gamma_2 (Z_{\mathcal{K}} Z_M D_{\mathcal{K}} + \delta_{\mathcal{K}} \gamma_1^2) sh(\gamma_2 z) \right],$$

$$b_{2,4} = \frac{1}{\gamma_1^2 - \gamma_2^2} (Z_M D_{\mathcal{K}} + \delta_{\mathcal{K}} Y_{\mathcal{K}}) [-ch(\gamma_1 z) + ch(\gamma_2 z)],$$

$$b_{3,1} = \frac{1}{\gamma_1^2 - \gamma_2^2} Z_M D_M [ch(\gamma_1 z) - ch(\gamma_2 z)],$$

$$b_{3,2} = \frac{1}{\gamma_1^2 - \gamma_2^2} Z_M Z_{\mathcal{K}} D_M \left[-\frac{sh(\gamma_1 z)}{\gamma_1} + \frac{sh(\gamma_2 z)}{\gamma_2} \right],$$

$$b_{3,3} = \frac{1}{\gamma_1^2 - \gamma_2^2} \left[(\gamma_2^2 - Z_M Y_M) ch(\gamma_1 z) + (\gamma_1^2 - Z_M Y_M) ch(\gamma_2 z) \right],$$

$$b_{3,4} = \frac{Z_M}{\gamma_1^2 - \gamma_2^2} \left[-(\gamma_2^2 - Z_M Y_M - \delta_{\mathcal{K}} D_M) \frac{sh(\gamma_1 z)}{\gamma_1} + \right. \\ \left. + (\gamma_1^2 - Z_M Y_M - \delta_{\mathcal{K}} D_M) \frac{sh(\gamma_2 z)}{\gamma_2} \right],$$

$$b_{4,1} = \frac{1}{\gamma_1^2 - \gamma_2^2} D_M [\gamma_1 sh(\gamma_1 z) - \gamma_2 sh(\gamma_2 z)],$$

$$b_{4,2} = \frac{1}{\gamma_1^2 - \gamma_2^2} Z_{\mathcal{K}} D_M [-ch(\gamma_1 z) + ch(\gamma_2 z)],$$

$$b_{4,3} = \frac{1}{\gamma_1^2 - \gamma_2^2} \frac{1}{Z_M} \left[-\gamma_1 (\gamma_2^2 - Z_M Y_M) sh(\gamma_1 z) + \right. \\ \left. + \gamma_2 (\gamma_1^2 - Z_M Y_M) sh(\gamma_2 z) \right],$$

$$b_{4,4} = \frac{1}{\gamma_1^2 - \gamma_2^2} \left[-(\gamma_2^2 - Z_M Y_M - \delta_{\mathcal{K}} D_M) ch(\gamma_1 z) + \right. \\ \left. + (\gamma_1^2 - Z_M Y_M - \delta_{\mathcal{K}} D_M) ch(\gamma_2 z) \right].$$

Анализ выражений для элементов передаточной матрицы (2) показывает, что передаточная матрица (2) является несимметричным (поскольку $b_{1,1} \neq b_{2,2}$ и $b_{3,3} \neq b_{4,4}$) и пассивным (определитель матрицы $|b_{i,j}| = 1$) вось-

миполосником. Только при отсутствии потерь давления ($\delta_{\mathcal{K}}=0$) передаточная матрица (2) становится симметричным восьмиполосником.

Положив в выражениях для элементов передаточной матрицы $b_{i,j}$ коэффициенты связи $D_{\mathcal{K}} = \delta_{\mathcal{K}} = D_M = \mathbf{0}$, можно получить известные выражения для элементов четырехполосника гидросистемы [9] и аналогичные выражения для элементов четырехполосника конструкции трубопровода $b_{i,j}^*$, $i, j = 3, 4$

$$\begin{cases} F_Z(z, s) = b_{3,3}^* F_Z(\mathbf{0}, s) + b_{3,4}^* \dot{u}_Z(\mathbf{0}, s), \\ \dot{u}_Z(z, s) = b_{4,3}^* F_Z(\mathbf{0}, s) + b_{4,4}^* \dot{u}_Z(\mathbf{0}, s), \end{cases} \quad (5)$$

$$\text{где} \quad b_{3,3}^* = b_{4,4}^* = ch(\gamma z); \quad b_{3,4}^* = \frac{Z_M}{\gamma} sh(\gamma z); \quad b_{4,3}^* = \frac{\gamma}{Z_M} sh(\gamma z);$$

$$\gamma = \sqrt{Z_M Y_M}.$$

Четырехполосник (5) является решением системы уравнений движения стенки трубопровода в осевом направлении и состояния стенки трубопровода (см. (1)), которое может быть использовано для определения АФЧХ стержневых систем.

В продольных колебаниях конструкции трубопровода определяющее значение может играть сильфон, у которого при одинаковой продольной силе продольные перемещения, как правило, значительно больше, чем у трубопровода. Математическую модель сильфона получим из системы (1), используя две основные характеристики сильфона в продольном направлении. Это зависимости продольной силы и давления жидкости от величины сжатия или растяжения сильфона [10]

$$F_z = k_z u_z, \quad p = k_p u_z, \quad (6)$$

где u_z – продольное перемещение трубопровода; k_z , k_p – коэффициенты жесткостей по продольной силе и по давлению.

Между коэффициентами жесткости k_z и k_p существует связь через эффективную площадь $A_{эф}$

$$k_z = A_{эф} k_p. \quad (7)$$

Для параметра глубины гофрировки $k = R_H/R_B = 1-1,2$ (R_H , R_B – наружный и внутренний радиусы сильфона) различные методики определения эффективной площади $A_{эф}$ дают близкие значения [10]. Поэтому для определения $A_{эф}$ воспользуемся простейшей формулой, включающей средний радиус R_{cp}

$$A_{эф} = \pi R_{cp}^2, \quad R_{cp} = \frac{R_H + R_B}{2}.$$

Объединяя уравнения (6) и учитывая (7), получим

$$u_z = \frac{F_z}{k_z} - \frac{p}{k_p}, \quad \text{или} \quad F_z - k_z u_z - A_{\text{эф}} p = 0. \quad (8)$$

Тогда из системы (1) при условиях $ch(\gamma_1 l) = ch(\gamma_2 l) = 1$, $sh(\gamma_1 l) = \gamma_1 l$, $sh(\gamma_2 l) = \gamma_2 l$ и $l \rightarrow 0$ с учетом уравнения (8) выражения для элементов передаточной матрицы сильфона $b_{i,j}^C$, $i, j = 1, 2, 3, 4$ примут вид

$$b_{1,1}^C = 1; \quad b_{1,2}^C = -\frac{2\Delta\bar{p}}{G - \dot{u}_Z A_{\text{Ж}} \gamma_{\text{Ж}}} = -R_1; \quad b_{1,3}^C = 0; \quad b_{1,4}^C = R_1 A_{\text{Ж}} \gamma_{\text{Ж}};$$

$$b_{2,1}^C = -\frac{2\nu A_{\text{Ж}} \gamma_{\text{Ж}} A_{\text{эф}} s}{k_Z (1 + \mu_Z s)}; \quad b_{2,2}^C = 1; \quad b_{2,3}^C = \frac{2\nu A_{\text{Ж}} \gamma_{\text{Ж}} s}{k_Z (1 + \mu_Z s)}; \quad b_{2,4}^C = 0;$$

$$b_{3,1}^C = b_{3,2}^C = 0; \quad b_{3,3}^C = 1; \quad b_{3,4}^C = m s;$$

$$b_{4,1}^C = -\frac{A_{\text{эф}} s}{k_Z (1 + \mu_Z s)}; \quad b_{4,2}^C = 0; \quad b_{4,3}^C = \frac{s}{k_Z (1 + \mu_Z s)}; \quad b_{4,4}^C = 1,$$

где m – масса сильфона.

2. Импедансный метод. Для определения АФЧХ импедансным методом при совместных продольных колебаниях жидкости и конструкции трубопровода будем использовать граничные условия, представленные в общем виде аналогично тому, как в работе [11]. Пусть заданы граничные условия на выходе элемента гидроупругой системы (трубопровода, сильфона) в виде

$$\begin{cases} p_2 = \Phi_{1,1} G_2 + \Phi_{1,2} F_{Z2}, \\ \dot{u}_{Z2} = \Phi_{2,1} G_2 + \Phi_{2,2} F_{Z2}, \end{cases} \quad (9)$$

где p_2 , G_2 , F_{Z2} и \dot{u}_{Z2} – параметры гидроупругой системы на выходе элемента; $\Phi_{1,1}$, $\Phi_{1,2}$, $\Phi_{2,1}$ и $\Phi_{2,2}$ – импедансные соотношения на выходе элемента.

Используя передаточную матрицу элемента (2), требуется определить граничные условия на входе в рассматриваемый элемент в аналогичном (9) виде

$$\begin{cases} p_1 = \Psi_{1,1} G_1 + \Psi_{1,2} F_{Z1}, \\ \dot{u}_{Z1} = \Psi_{2,1} G_1 + \Psi_{2,2} F_{Z1}, \end{cases} \quad (10)$$

где p_1 , G_1 , F_{Z1} и \dot{u}_{Z1} – параметры гидроупругой системы на входе элемента; $\Psi_{1,1}$, $\Psi_{1,2}$, $\Psi_{2,1}$ и $\Psi_{2,2}$ – импедансные соотношения на входе элемента.

Для определения импедансных соотношений $\Psi_{1,1}$, $\Psi_{1,2}$, $\Psi_{2,1}$ и $\Psi_{2,2}$ можно использовать следующий порядок расчета:

– находим матрицу $a_{i,j}$, $i, j = 1, 2, 3, 4$, обратную матрице $b_{i,j}$, $i, j = 1, 2, 3, 4$;

- подставляем граничные условия (9) в матрицу $a_{i,j}$, $i, j = 1, 2, 3, 4$;
- исключая из полученной системы уравнений G_2 , F_{Z2} , получим иско-
мые импедансные соотношения $\Psi_{1,1}$, $\Psi_{1,2}$, $\Psi_{2,1}$ и $\Psi_{2,2}$

$$\Psi_{1,1} = \left[(a_{1,1}\varphi_{1,1} + a_{1,2} + a_{1,4}\varphi_{2,1})(a_{3,1}\varphi_{1,2} + a_{3,3} + a_{3,4}\varphi_{2,2}) - (a_{1,1}\varphi_{1,2} + a_{1,3} + a_{1,4}\varphi_{2,2})(a_{3,1}\varphi_{1,1} + a_{3,2} + a_{3,4}\varphi_{2,1}) \right] / D,$$

$$\Psi_{1,2} = \left[- (a_{1,1}\varphi_{1,1} + a_{1,2} + a_{1,4}\varphi_{2,1})(a_{2,1}\varphi_{1,2} + a_{2,3} + a_{2,4}\varphi_{2,2}) + (a_{1,1}\varphi_{1,2} + a_{1,3} + a_{1,4}\varphi_{2,2})(a_{2,1}\varphi_{1,1} + a_{2,2} + a_{2,4}\varphi_{2,1}) \right] / D,$$

$$\Psi_{2,1} = \left[(a_{4,1}\varphi_{1,1} + a_{4,2} + a_{4,4}\varphi_{2,1})(a_{3,1}\varphi_{1,2} + a_{3,3} + a_{3,4}\varphi_{2,2}) - (a_{4,1}\varphi_{1,2} + a_{4,3} + a_{4,4}\varphi_{2,2})(a_{3,1}\varphi_{1,1} + a_{3,2} + a_{3,4}\varphi_{2,1}) \right] / D,$$

$$\Psi_{2,2} = \left[- (a_{4,1}\varphi_{1,1} + a_{4,2} + a_{4,4}\varphi_{2,1})(a_{2,1}\varphi_{1,2} + a_{2,3} + a_{2,4}\varphi_{2,2}) + (a_{4,1}\varphi_{1,2} + a_{4,3} + a_{4,4}\varphi_{2,2})(a_{2,1}\varphi_{1,1} + a_{2,2} + a_{2,4}\varphi_{2,1}) \right] / D,$$

$$D = (a_{2,1}\varphi_{1,1} + a_{2,2} + a_{2,4}\varphi_{2,1})(a_{3,1}\varphi_{1,2} + a_{3,3} + a_{3,4}\varphi_{2,2}) - (a_{2,1}\varphi_{1,2} + a_{2,3} + a_{2,4}\varphi_{2,2})(a_{3,1}\varphi_{1,1} + a_{3,2} + a_{3,4}\varphi_{2,1}).$$

При определении коэффициентов усиления элемента гидроупругой сети импедансные соотношения следует представить в виде

$$\begin{cases} p_2 = W_{1,1} p_1 + W_{1,2} \dot{u}_{Z1}, \\ \dot{u}_{Z2} = W_{2,1} p_1 + W_{2,2} \dot{u}_{Z1}, \end{cases} \quad (11)$$

где $W_{1,1}$, $W_{1,2}$, $W_{2,1}$ и $W_{2,2}$ – коэффициенты усиления элемента.

Для определения частотных характеристик $W_{1,1}$, $W_{1,2}$, $W_{2,1}$ и $W_{2,2}$ можно в передаточную матрицу элемента (2) подставить матрицу, обратную (10). Тогда получим

$$\begin{cases} W_{1,1} = b_{1,1} + b_{1,2} \Psi_{1,1}^* + b_{1,3} \Psi_{2,1}^*, \\ W_{1,2} = b_{1,4} + b_{1,2} \Psi_{1,2}^* + b_{1,3} \Psi_{2,2}^*, \\ W_{2,1} = b_{4,1} + b_{4,2} \Psi_{1,1}^* + b_{4,3} \Psi_{2,1}^*, \\ W_{2,2} = b_{4,4} + b_{4,2} \Psi_{1,2}^* + b_{4,3} \Psi_{2,2}^*, \end{cases}$$

$$\text{где } \Psi_{1,1}^* = \frac{\Psi_{2,2}}{\Delta}; \quad \Psi_{1,2}^* = \frac{-\Psi_{1,2}}{\Delta}; \quad \Psi_{2,1}^* = \frac{-\Psi_{2,1}}{\Delta}; \quad \Psi_{2,2}^* = \frac{\Psi_{1,1}}{\Delta};$$

$$\Delta = \Psi_{1,1}^* \Psi_{2,2}^* - \Psi_{1,2}^* \Psi_{2,1}^*.$$

Для определения собственных частот колебаний гидроупругой системы необходимо иметь в каком-либо сечении граничные условия, перенесенные “слева” и “справа” от сечения. Так, если на входе в элемент гидроупругой сети известны граничные условия (10), полученные при переносе граничных условий от выхода на вход элемента, и граничные условия, перенесенные с другого конца гидроупругой системы

$$\begin{cases} p_1 = \varphi_{1,1}^* G_1 + \varphi_{1,2}^* F_{Z1}, \\ \dot{u}_{Z1} = \varphi_{2,1}^* G_1 + \varphi_{2,2}^* F_{Z1}, \end{cases} \quad (12)$$

то, приравнявая (10) и (12), получим уравнение для определения собственных частот колебаний гидроупругой системы

$$\begin{aligned} \Psi &= (\psi_{1,1} - \varphi_{1,1}^*)(\psi_{2,2} - \varphi_{2,2}^*) - \\ &- (\psi_{1,2} - \varphi_{1,2}^*)(\psi_{2,1} - \varphi_{2,1}^*) = 0 \end{aligned} \quad (13)$$

При неучете взаимодействия между колебаниями жидкости и вибрациями конструкции трубопровода выражение (13) распадается на два уравнения для определения частот колебаний парциальных систем жидкости и конструкции трубопровода

$$\psi_{1,1} - \varphi_{1,1}^* = 0 \quad \text{и} \quad \psi_{2,2} - \varphi_{2,2}^* = 0.$$

3. Численный пример. Для исследования взаимного влияния конструкции трубопровода и жидкости при определении АФЧХ рассмотрим тестовый прямолинейный трубопровод линии питания ЖРД, схема которого представлена на рис. 1. Алюминиевый трубопровод длиной 10 м, внутренним диаметром 0,4 м и толщиной стенок 4 мм соединяет питающий бак и двигатель.

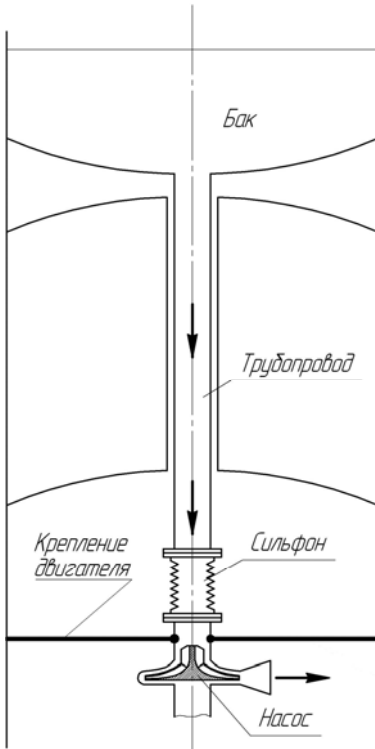


Рис.1

Скорость рабочей жидкости в трубопроводе 5 м/с, потери давления 1,5 кгс/см². Зададим граничные условия в месте соединения трубопровода с двигателем $\varphi_{1,1} = 0,7 \text{ с/см}^2$, $\varphi_{1,2} = 0$, $\varphi_{2,1} = 0$, $\varphi_{2,2} = 0$ и в месте соединения трубопровода с питающим баком $\varphi_{1,1}^* = 0$, $\varphi_{1,2}^* = \varphi_{2,1}^* = 0$, $\varphi_{2,2}^* = 0$.

Продольную жесткость сильфона k_z будем задавать в долях продольной жесткости трубопровода k_z^{mp} , которая может быть найдена из формулы, связывающей напряжение σ_z и относительное изменение длины трубопровода в продольном направлении ε_z

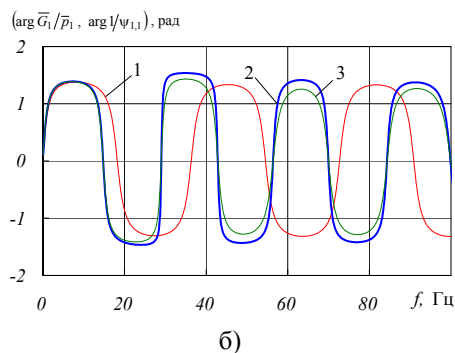
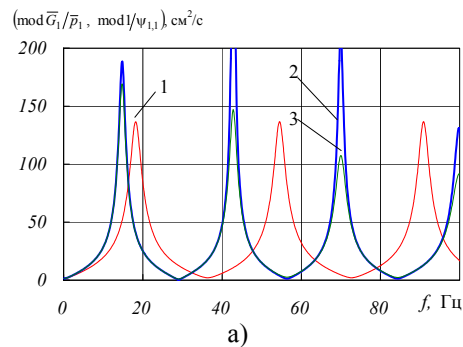


Рис. 2

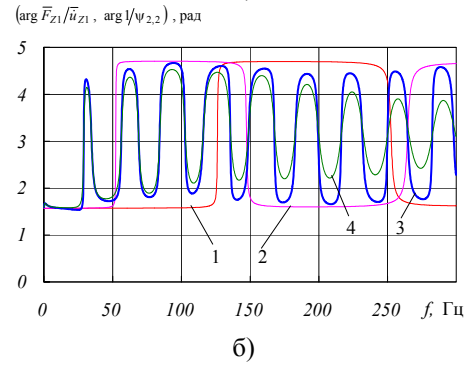
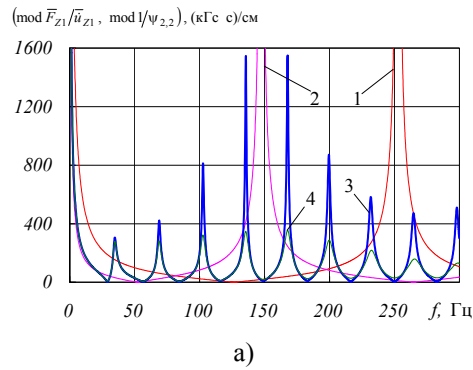


Рис. 3

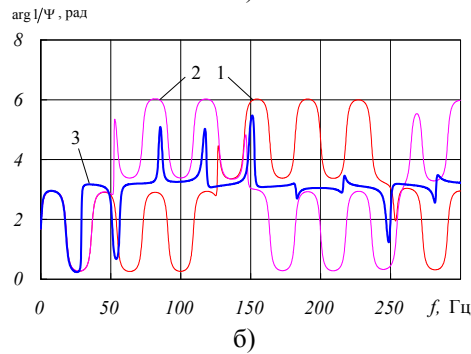
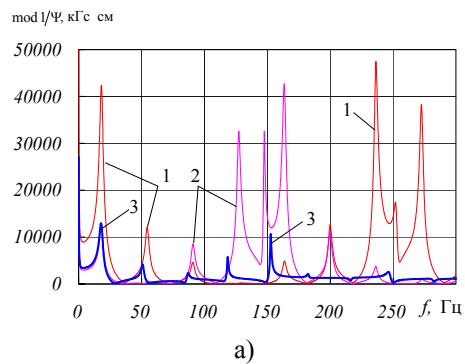


Рис. 4

$$\sigma_z = E_M \varepsilon_z.$$

Из этой формулы может быть определен коэффициент жесткости трубопровода

$$k_z^{mp} = \frac{E_M A_M}{l}.$$

Под парциальными колебательными системами будем понимать колебательные системы с распределенными параметрами жидкости и конструкции трубопровода без учета взаимодействия между жидкостью и конструкцией трубопровода ($D_{Ж} = \delta_{Ж} = D_M = 0$). На рис. 2 – 4 представлены результаты расчетов некоторых АФЧХ исследуемого трубопровода. Из рис. 2 (позиция 1) и рис. 4 (позиция 1) видно, что первая собственная частота колебаний парциальной системы жидкости составляет 18,2 Гц. Первая собственная частота колебаний парциальной системы конструкции трубопровода без сильфона составляет 252,6 Гц (рис. 3, позиция 1 и рис. 4, позиция 1). При установке сильфона с жесткостью $0,5 k_z^{mp}$ первая собственная частота колебаний парциальной системы конструкции трубопровода снижается до 147,5 Гц (см. рис. 3, позиция 2 и рис. 4, позиция 2), при установке сильфона с жесткостью $0,2 k_z^{mp}$ – снижается до 135,7 Гц, при установке сильфона с жесткостью $0,1 k_z^{mp}$ – снижается до 131,2 Гц, приближаясь к частоте колебаний 126,3 Гц, которая соответствует собственной частоте колебаний парциальной системы конструкции трубопровода со свободным концом ($F_{Z2} = 0$).

При учете взаимного влияния пульсаций жидкости и вибраций конструкции трубопровода АФЧХ трубопровода могут существенно изменяться. Об этом свидетельствуют результаты расчетов АФЧХ трубопровода с жесткостью сильфона $0,5 k_z^{mp}$, представленные на рис. 2 (позиция 2), рис. 3 (позиция 3) и рис. 4 (позиция 3). При

этом для определения собственных частот совместных продольных колебаний конструкции трубопровода и жидкости следует использовать частотные характеристики Ψ или $1/\Psi$ по формуле (13), результаты расчетов по которой помещены на рис. 4 (позиция 3). Из этого рисунка видно, что первая собственная частота колебаний гидроупругой системы (18,1 Гц) слабо изменяется при учете взаимного влияния пульсаций жидкости и вибраций конструкции трубопровода. Это обусловлено большим отличием собственных частот колебаний парциальных систем жидкости (18,2 Гц) и конструкции трубопровода (147,5 Гц). Вторая собственная частота колебаний гидроупругой системы уменьшилась на 3,6 Гц и составила 50,9 Гц, третья – на 4 Гц и составила 86,9 Гц соответственно. Собственная частота колебаний гидроупругой системы, близкая к частоте колебаний парциальной системы конструкции трубопровода (147,5 Гц), увеличилась до 152,7 Гц. Такие соотношения между частотами колебаний парциальных и связанной систем, когда частоты колебаний парциальных систем располагаются между частотами колебаний связанной системы, находятся в соответствии с теорией колебаний [12].

Следует также отметить, что в данной работе сильфон не является, как это обычно принято считать [13], сосредоточенной упругостью для гидравлической подсистемы. Входящее в уравнение неразрывности жидкости (1) слагаемое с продольной скоростью перемещения трубопровода \dot{u}_z может быть соизмеримым с другими членами этого уравнения, но взаимное влияние продольных колебаний жидкости и вибраций конструкции в соответствии с теорией колебаний [12] определяется в первую очередь близостью частот колебаний парциальных систем жидкости и конструкции трубопровода. Если эти частоты колебаний достаточно разнесены, то характеристики сильфона, прежде всего его жесткость в продольном направлении, не будут оказывать существенного влияния на динамику гидравлической подсистемы.

Представленные выше результаты расчетов АФЧХ выполнены с учетом демпфирования, соответствующего демпфированию материала трубопровода. Эти результаты мало отличаются от результатов расчета АФЧХ без учета демпфирования. На рис. 2 (позиция 3) и рис. 3 (позиция 4) помещены результаты определения АФЧХ с учетом демпфирования, соответствующего конструкционному демпфированию. Из этих рисунков видно, что демпфирование конструкции трубопровода может оказывать заметное влияние не только на АФЧХ конструкции трубопровода, но также на АФЧХ гидравлической подсистемы.

Заключение. В работе представлена математическая модель трубопровода с распределенными параметрами, учитывающая взаимодействие в продольном направлении жидкости и конструкции трубопровода, а также потери давления и демпфирование конструкции трубопровода. Определены элементы передаточной матрицы трубопровода, которая является пассивным восьмиполюсником.

Разработана математическая модель сильфона в продольном направлении и определена его передаточная матрица.

Получены выражения для определения импедансных соотношений гидроупругой системы.

Для тестового трубопровода линии питания ЖРД определены АФЧХ без учета и с учетом взаимодействия в продольном направлении жидкости и конструкции трубопровода. Показано, что влияние взаимодействия жидкости и

конструкции трубопровода в продольном направлении на собственные частоты колебаний связанной гидроупругой системы эффективно при определенной близости собственных частот колебаний парциальных систем жидкости и конструкции трубопровода. Отмечено влияние демпфирования конструкции трубопровода не только на АФЧХ конструкции трубопровода, но и на АФЧХ гидравлической подсистемы.

Перспективным в данном направлении исследований является разработка методики определения АФЧХ гидроупругой системы с трубопроводом пространственной конфигурации.

1. *Натанзон М. С.* Продольные автоколебания жидкостной ракеты / *М. С. Натанзон.* – М. : Машиностроение, 1977. – 208 с.
2. *Самарин А. А.* Вибрации трубопроводов энергетических установок и методы их устранения / *А. А. Самарин.* – М. : Энергия, 1979. – 288 с.
3. *Фэибог* Резонанс в системах топливоподдачи ракет с ЖРД / *Фэибог, Стрипер* // Тр. амер. о-ва инж.-мех. ТОИР – 1965. – № 4. – С. 181 – 188.
4. *Вуд* Исследование связанных колебаний конструкции с протекающей жидкостью под действием периодических возмущений / *Вуд* // Тр. амер. о-ва инж.-мех. ТОИР – 1968. – № 4. – С. 106 – 115.
5. *Торли* Нестационарные давления в гидравлических трубопроводах / *Торли* // Тр. амер. о-ва инж.-мех. ТОИР – 1969. – № 3. – С. 131 – 141.
6. *Зилке* Вынужденные и самовозбуждающиеся колебания в линиях подачи топлива / *Зилке, Уайли, Келлер* // Тр. амер. о-ва инж.-мех. ТОИР – 1968. – № 4. – С. 112 – 119.
7. *Уиггерт* Влияние степени закрепления колена на переходной режим изменения давления в трубопроводе / *Уиггерт, Отуэлл, Хатфилд* // Теор. основы инж. расчетов. – 1985. – № 3. – С. 249 – 258.
8. Снижение виброакустических нагрузок в гидромеханических системах / *А. А. Иголкин, А. Н. Крючков, Г. М. Макарьяни, А. Б. Прокофьев, Е. В. Шахматов, В. П. Шорин* – Самара, 2005. – 314 с.
9. *Пилипенко В. В.* Кавитационные автоколебания и динамика гидросистем / *В. В. Пилипенко, В. А. Задонцев, М. С. Натанзон* – М. : Машиностроение, 1977. – 352 с.
10. Сильфоны. Расчет и проектирование / *Л. Е. Андреева, А. И. Беседа, Ю. А. Богданова, Л. Н. Горячева, Г. Е. Зверьков, В. В. Петровский.* – М. : Машиностроение, 1975. – 156 с.
11. *Гликман Б. Ф.* Нестационарные течения в пневмогидравлических цепях / *Б. Ф. Гликман.* – М. : Машиностроение, 1979. – 256 с.
12. *Мандельштам Л. И.* Лекции по теории колебаний / *Л. И. Мандельштам.* – М. : Наука, 1972. – 470 с.
13. *Колесников К. С.* Динамика ракет / *К. С. Колесников.* – М. : Машиностроение, 1980. – 376 с.

Институт технической механики
НАН Украины и НКА Украины,
Днепропетровск

Получено 07.09.09
в окончательном варианте 07.09.09